

Zbiorowiska roślinne doliny Czerwonej Wody w Parku Narodowym Gór Stołowych

Plant communities of the Czerwona Woda River Valley (Stołowe Mountains National Park)

Remigiusz Pielech¹, Marek Malicki², Michał Smoczyk³, Andrzej M. Jagodziński⁴, Marcin K. Dyderski⁴,
Paweł Horodecki⁴, Sylwia Wierzcholska⁵, Maciej Skorupski⁶, Jacek Kamczyc⁶, Izabela Kałucka^{7,8},
Mariusz Hachulka⁷, Anna Gazda^{1*}

¹Uniwersytet Rolniczy im. H. Kołłątaja w Krakowie, Wydział Leśny, Instytut Ekologii i Hodowli Lasu, Zakład Bioróżnorodności Leśnej, al. 29-Listopada 46, 31-425 Kraków; ²Uniwersytet Wrocławski, Wydział Nauk Biologicznych, Instytut Biologii Środowiskowej, Zakład Botaniki, ul. Kanonia 6/8, 50-328 Wrocław; ³ul. Wojska Polskiego 30/5, 69-110 Rzepin; ⁴Instytut Dendrologii Polskiej Akademii Nauk, ul. Parkowa 5, 62-035 Kórnik; ⁵Uniwersytet Opolski, Wydział Przyrodniczo-Techniczny, Samodzielna Katedra Biosystematyki, ul. Oleska 22, 45-052 Opole; ⁶Uniwersytet Przyrodniczy w Poznaniu, Wydział Leśny, Katedra Łowiectwa i Ochrony Lasu, ul. Wojska Polskiego 71c, 60-625 Poznań; ⁷Uniwersytet Łódzki, Wydział Biologii i Ochrony Środowiska, Pracownia Algologii i Mykologii, ul. Banacha 12/16, 90-237 Łódź; ⁸Uniwersytet Łódzki, Instytut Nauk Leśnych, Filia w Tomaszowie Mazowieckim, ul. Konstytucji 3 Maja 65/67, 97-200 Tomaszów Mazowiecki

*Tel. +48 12 6625117, e-mail: rlgazda@cyf-kr.edu.pl

Abstract. The Czerwona Woda River is the main watercourse in the Stołowe Mountains National Park and drains the major part of the Stołowe Mts. It was regulated in the past, but its channel has been spontaneously naturalized. Now, managed spruce forests grow along almost the entire length of this small mountain stream. The aims of the present study were to investigate diversity of plant communities connected with the Czerwona Woda stream and to prepare detailed vegetation maps. The results obtained can potentially be a reference for future restoration projects implemented in the Stołowe Mountains National Park.

As a result of vegetation mapping, there were distinguished 20 plant communities representative of the current vegetation and 3 communities representative of the potential vegetation. Phytosociological data on the vegetation was documented by making 62 phytosociological relevés. Based on these, 9 forest communities were distinguished, of which 3 were classified into associations, 1 – into alliance, 5 – into secondary forest communities. Furthermore, there were distinguished 14 non-forest communities, of which 10 were classified into associations. Several of the phytosociological classes distinguished have been reported for the first time in the Stołowe Mountains National Park.

Keywords: river valley, riparian vegetation, plant communities, Stołowe Mountains, Central Sudetes

1. Wstęp

Roślinność towarzysząca ciekom jest kluczowym elementem ekosystemów nadrzecznych, wykorzystywanym jako indyktor ich kondycji (Johansen et al. 2008; Macfarlane et al. 2017). Ekosystemy dolin rzecznych są niezwykle cenne ze względu na liczne świadczone przez nie usługi ekosystemowe (Sweeney et al. 2004; Gundersen et al. 2010; Van Looy et al. 2017). Niestety, są one też jednymi z najbardziej przekształconych ekosystemów (González et al. 2017), na co wpływ miały przede wszystkim regulacja rzek (Nilsson, Berggren 2000; Nilsson et al. 2005; Greet et al. 2013; Foster, Rood 2017), różne formy użytkowania (Allan 2004; González et al. 2017) oraz inwazje gatunków obcych

(Richardson et al. 2007; Catford et al. 2011; Dyderski et al. 2015; Wagner et al. 2017).

Podobnie sytuacja przedstawia się na obszarze Sudetów. Lasy nadrzeczne, szczególnie te związane z górnymi odcinkami górskich rzek, charakteryzują się ponadprzeciętnym bogactwem florystycznym (Pielech 2015). Jednak intensywne użytkowanie lasu, trwające tu aż do XVIII wieku, doprowadziło do niemal całkowitego odlesienia Sudetów (Wilczkiewicz 1982). Te zjawiska zachodziły również w dolinach rzecznych, które i tak już przekształcone w wyniku rozwoju osadnictwa, były wykorzystywane do spławiania drewna (KRNAP 2012). Rozwój tzw. nowoczesnego leśnictwa, który nastąpił z początkiem XIX wieku, wiązał się jednak z eliminacją gatunków liściastych i masowym wprowadzaniem upraw świerka

Wpłynęło: 14.02.2018 r., recenzowano: 21.05.2018 r., zaakceptowano: 4.06.2018 r.

w omawianym regionie (Barzdajn et al. 1999). Doprowadziło to do dalszych, daleko idących przemian roślinności, których skutki obserwuje się do dzisiaj. Wiele dolin rzecznych na terenie Sudetów pozbawionych jest występujących tu w przeszłości naturalnych zbiorowisk lasów łęgowych, natomiast ich miejsce zajęły sztucznie wprowadzone monokultury świerkowe. Lasy łęgowe zachowały się jedynie w rozproszeniu w postaci niewielkich fragmentów. Mimo ich nieocenionej roli w środowisku, lasy te wciąż podlegają negatywnym wpływom związanym z anachronicznie pojmowaną ochroną przeciwpowodziową, dalszym rozwojem zabudowy w dolinach rzecznych lub użytkowaniem niezgodnym z wymogami ochrony zasobów środowiska przyrodniczego (Pielech, Kisiel 2010; Pielech et al. 2017).

Czerwona Woda w Górach Stołowych to przykład rzeki idealnie pasujący do powyższego opisu. Niewielki górski potok otoczony jest dziś na niemal całej długości gospodarczymi lasami świerkowymi. Cechy hydromorfologiczne koryta Czerwonej Wody są typowe dla rzek nieuregulowanych (Witek 2013), jednak dokładniejsza penetracja terenu pozwala odkryć ślady przekształceń reżimu hydrologicznego, włączając w to melioracje osuszające, regulację oraz odcinkową zabudowę koryta, zapory przegradzające rzekę i modyfikujące przepływ wody i inne. Tak silny stopień przekształcenia ekosystemów nadrzecznych wpłynął zarówno na zasoby wodne, jak i różnorodność biologiczną tego obszaru. Ze względu na problemy związane z bardzo niskim stanem wody w ostatnich latach, Park Narodowy Gór Stołowych rozważa plany renaturyzacji rzeki Czerwona Woda. Wymaga to jednak bardzo szczegółowego poznania obecnych zasobów szaty roślinnej.

Niniejsza praca przedstawia wyniki badań, których celem było szczegółowe rozpoznanie i skartowanie zbiorowisk roślinnych związanych z potokiem Czerwona Woda w Górach Stołowych, a w szczególności: (1) rozpoznanie zróżnicowania zbiorowisk roślinnych, (2) skartowanie roślinności rzeczywistej oraz (3) opracowanie mapy roślinności potencjalnej.

2. Materiały i metody

2.1. Charakterystyka obszaru badań

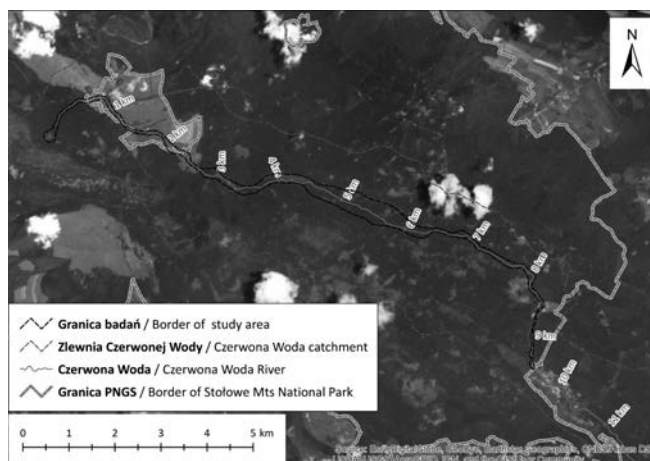
Czerwona Woda jest najdłuższym ciekim na terenie Parku Narodowego Gór Stołowych (13,45 km) i odwadnia większą część masywu Gór Stołowych (Adynkiewicz-Piragas et al. 2011). Źródła potoku znajdują się na stokach Skalniaka, na wysokości około 798 m n.p.m. i początkowo w obszarze źródłiskowym płynie on słabo wykształconą doliną (Witek 2013), by poniżej Karłowa uformować już dobrze wykształconą dolinę o głębokości do kilkudziesięciu metrów w obrębie wąskiego rowu tektonicznego – Obniżenia Czerwonej Wody (Migoń et al. 2011). Podłoże geologiczne stanowią turońskie margle i piaskowce, co znajduje swój wyraz w morfologii doliny w postaci typowych dla potoków Gór Stołowych odcinków przelomowych (Migoń et al. 2011), np. Cygański Wąwóz powyżej Batorowa. Bardzo charakterystyczną cechą

jest brunatno-czerwona barwa wody w potoku (stąd nazwa), która jest wynikiem odwadniania położonych w sąsiedztwie terenów torfowiskowych, np. Wielkiego Torfowiska Batorowskiego, Niknącej Łąki i Zmrozowiska. W górnym i środkowym biegu potok ma w większości urozmaicony charakter koryta i procesów je kształtujących (erozja boczna i akumulacja, erozja denną). Odmienna sytuacja dotyczy całej doliny Czerwonej Wody, gdzie na skutek długotrwałych przekształceń, głównie związanych z osuszaniem w celu intensyfikacji gospodarki leśnej i budową dróg, stosunki wodne są trwale antropogenicznie zaburzone. Większość powierzchni doliny Czerwonej Wody pokrywają tereny leśne (zalesienie zlewni sięga 90%), w większości są to nasadzenia świerkowe, większe enklawy bezleśne zajęte są przez tereny wsi Karłów i Batorów. W bezpośredniej bliskości koryta potoku dominują gleby torfowo-glejowe i mady, na skrzydłach doliny występują gleby brunatne i płowe, a miejscami także utwory bielicowe (Kabała et al. 2002b).

Granice obszaru badań wyznaczono precyzyjnie na podstawie modelu terenu. W miejscach, gdzie dolina rozszerza się znacząco, obszar badań ograniczono do strefy 100 m w każdą stronę od osi koryta Czerwonej Wody (ryc. 1). Tak zdefiniowany obszar badań obejmował powierzchnię 91,2 ha.

2.2. Geobotaniczne rozpoznanie obszaru badań

Szata roślinna doliny Czerwonej Wody nie była dotąd przedmiotem szczegółowych badań. Brak jest dokładnych informacji zarówno o występujących tu gatunkach roślin naczyniowych, jak i o zróżnicowaniu zbiorowisk roślinnych. Jednak obszar Gór Stołowych był często przedmiotem badań geobotanicznych. Pierwsze wiarygodne dane spotyka się w pracach przedwojennych florystów (np. Fiek 1881; Schube 1903, 1906; Pax 1915). Niestety dokładność podawanych w ww. pracach lokalizacji pozwala jedynie przypisać poszczególne stanowiska roślin do szerzej zdefiniowanych



Rycina 1. Obszar objęty badaniami na tle zlewni Czerwonej Wody wraz z naniesionym kilometrażem rzeki

Figure 1. Study area overlaid by Czerwona Woda river catchment; river kilometrage is given for reference

obszarów. Podobnie po II wojnie światowej Góry Stołowe cieszyły się uwagą florystów i fitosocjologów. Obok wielu notatek florystycznych i uwag o zróżnicowaniu roślinności, szczegółowy wykaz tych prac można znaleźć w opracowaniu Świerkosza i in. (2008), na uwagę zasługuje kompleksowa analiza geobotaniczna Gór Stołowych (Świerkosz 1998; Wierzcholska et al. 2018). Niestety, ze względu na wielkoobszarowy charakter omawianych badań, zarówno dane ujęte we wspomnianych doniesieniach florystyczno-fitosocjologicznych, jak i w szczegółowym opracowaniu geobotanicznym, nie pozwalają na precyzyjne przypisanie stanowisk roślin do doliny Czerwonej Wody. Z kolei najnowsze doniesienia (po 2008 roku), zawierające precyzyjne lokalizacje, dotyczą jedynie stanowisk położonych poza terenem objętym niniejszym opracowaniem (np. Wójcik 2017).

2.3. Prace terenowe

Badania terenowe prowadzono w sierpniu i wrześniu 2017 roku. Podstawową jednostką roślinności rzeczywistej wyróżnianej podczas kartowania był zespół roślinny. W wyjątkowych przypadkach, gdy brak było gatunków charakterystycznych lub zbiorowisko miało charakter przejściowy, dany płat roślinności przypisywano do związku. Analizując zróżnicowanie roślinności, przyjęto aktualny hierarchiczny system jednostek syntaksonomicznych opracowany dla Europy (Mucina et al. 2016). Zespoły roślinne wyróżniono natomiast zgodnie z ujęciem stosowanym w Czechach (Chytrý 2007, 2009, 2011, 2015) jako najlepiej charakteryzującym zróżnicowanie roślinności Sudetów. Badaniem objęto zarówno roślinność leśną, jak i zbiorowiska nieleśne. Oprócz zbiorowisk naturalnych i półnaturalnych wyróżniano także leśne zbiorowiska zastępcze. Zasady wyróżniania oraz nazywania leśnych zbiorowisk zastępczych przyjęto za Instrukcją urzędowania lasu (PGL LP 2012). Granice wyróżnionych płatów zbiorowisk wyznaczono w terenie przy pomocy precyzyjnego odbiornika GPS klasy GIS (przeciętna szacowana dokładność pod okapem drzewostanu wynosi +/- 5–10 m). Przyjęto, że minimalna powierzchnia wyróżnionego na mapie płatu to 0,1 ha. W przypadku siedlisk zależnych od wód (źródlika, wysięki, szuwary, lasy łęgowe, bory bagienne), gdy było to możliwe, kartowano również mniejsze płaty. Mapę roślinności rzeczywistej tworzą w terenie w aplikacji Collector for ArcGIS, a wynikiem prac jest warstwa poligonowa zawierająca diagnozy fitosocjologiczne przypisane jako jeden z atrybutów.

Mapę roślinności potencjalnej tworzą w oparciu o wcześniej stworzoną mapę roślinności rzeczywistej, wykorzystując wiedzę nt. dynamicznych kręgów zbiorowisk oraz zróżnicowania roślinności Sudetów, a także korzystając ze zeskanowanej i zgeoreferencjonowanej mapy gleb Parku Narodowego Gór Stołowych (Kabała et al. 2002a,b). Następnie dla każdego poligonu reprezentującego skartowaną roślinność rzeczywistą przypisano kolejną diagnozę fitosocjologiczną odpowiadającą roślinności potencjalnej, przy czym roślinność potencjalną określano jedynie do poziomu związku.

Większość spośród wszystkich wyróżnionych płatów roślinności naturalnej i półnaturalnej została udokumentowana poprzez wykonanie zdjęcia fitosocjologicznego. Powierzchnie zdjęć przyjęto zgodnie z zaleceniami Otypkovej i Chytrého (2006). W większości przypadków zdjęcia wykonano na kwadratowej powierzchni zorientowanej względem kierunków świata. Udział poszczególnych gatunków roślin naczyniowych oszacowano za pomocą skali ilościowości Braun-Blanqueta (Dzwonko 2007). W zdjęciach uwzględniono również najczęstsze gatunki mszaków posiadające wartość diagnostyczną dla wyróżnianych jednostek. Nazwy mszaków są zgodne z opracowaniami: Ochyry i in. (2003) oraz Szweykowskiego (2006). Zdjęcia fitosocjologiczne zbiorowisk leśnych wykonane w ramach prezentowanych badań zgromadzono w bazie Forest Database of Southern Poland (Pielech et al. 2018). W celu przedstawienia zróżnicowania wyróżnionych syntaksonów wykonano tabele fitosocjologiczne zbiorowisk, które były udokumentowane przez przynajmniej trzy zdjęcia fitosocjologiczne. Wyróżniono w nich gatunki diagnostyczne poszczególnych zespołów zgodnie z opracowaniami Chytrého i in. (2007, 2009, 2011, 2015), a także gatunki regionalnie diagnostyczne wyróżnione na podstawie zestawionych tabel oraz znajomości zróżnicowania roślinności Sudetów. Zrezygnowano z podawania gatunków diagnostycznych dla jednostek wyższej rangi. Ponadto dla wyróżnionych zbiorowisk sporządzono ich szczegółową charakterystykę obejmującą informacje o strukturze, stanie zachowania i rozmieszczeniu na badanym obszarze.

3. Wyniki

3.1. Mapy roślinności rzeczywistej i potencjalnej

Na mapie roślinności rzeczywistej wyróżniono 20 typów zbiorowisk (tab. 1), natomiast na mapie roślinności potencjalnej wyróżniono 3 typy zbiorowisk (tab. 2). W trakcie prac terenowych wykonano łącznie 62 zdjęcia fitosocjologiczne. Porządkowanie zdjęć fitosocjologicznych pozwoliło na wyróżnienie 9 zbiorowisk leśnych, z których trzy przypisano do zespołu, jeden do związku, a pięć pozostałych to leśne zbiorowiska zastępcze. Ponadto rozpoznano 14 typów zbiorowisk nieleśnych, spośród których 10 opisano w randze zespołu. Poniżej przedstawiono wykaz wszystkich wyróżnionych jednostek w hierarchicznym układzie systematycznym.

Zbiorowiska leśne:

Klasa: *Alno glutinosae-Populetea albae* P. Fukarek et Fabijanić 1968

Rząd: *Alno-Fraxinetalia excelsioris* Passarge 1968

Związek: *Alnion incanae* Pawłowski et al. 1928

1. *Stellario nemorum-Alnetum glutinosae*

Lohmeyer 1957

2. zbiorowisko ze związku *Alnion incanae*

Klasa: *Vaccinio-Piceetea* Br.-Bl. in Br.-Bl. et al. 1939

Rząd: *Piceetalia excelsae* Pawłowski et al. 1928

Związek: *Piceion excelsae* Pawłowski et al. 1928

3. *Equiseto sylvatici-Piceetum abietis* Šmarda 1950

Tabela 1. Lista zbiorowisk roślinnych wyróżnionych na mapie roślinności rzeczywistej

Table 1. List of plant communities distinguished on the map of current vegetation

Lp. No.	Zbiorowisko roślinne Plant community	Powierzchnia Area (ha)
1	zbiorowisko / community <i>Picea abies-Deschampsia flexuosa</i>	51,8
2	<i>Vaccinio uliginosi-Piceetum abietis</i>	14,8
3	<i>Angelico sylvestris-Cirsietum oleracei</i>	2,3
4	<i>Juncetum squarrosi</i>	1,7
5	zbiorowisko ze związku / community within the association <i>Calthion palustris</i>	1,3
6	<i>Geranio sylvatici-Trisetetum flavescens</i>	1,0
7	mozaika zbiorowisk / mosaic of the communities <i>Magno-Caricion gracilis/Alnion incanae</i>	0,9
8	<i>Phalaridetum arundinaceae</i>	0,8
9	zbiornik wodny / the pool of water	0,7
10	zbiorowisko regeneracyjne boru świeżego / coniferous forest	0,6
11	<i>Equiseto sylvatici-Piceetum abietis</i>	0,4
12	zbiorowisko z klasy / community from the class <i>Artemisietea vulgaris</i>	0,3
13	zbiorowisko ze związku / community within the association <i>Alnion incanae</i>	0,2
14	zbiorowisko z / community with <i>Alnus incana</i>	0,1
15	zbiorowisko z / community with <i>Carex brizoides</i>	0,1
16	<i>Stellario nemorum-Alnetum glutinosae</i>	< 0,1
17	mozaika zbiorowisk / mosaic of the communities <i>Magno-Caricion gracilis</i>	< 0,1
18	zbiorowisko ze związku / community within the association <i>Caricion canescenti-nigrae</i>	< 0,1
19	<i>Scirpetum sylvatici</i>	< 0,1
20	zbiorowisko / community <i>Acer pseudoplatanus-Rubus</i> sp.	< 0,1

Rząd: *Vaccinio uliginosi-Pinetalia sylvestris* Passarge 1968

Związek: *Eriophoro-Piceion abietis* Passarge 1968
4. *Vaccinio uliginosi-Piceetum abietis* Schubert 1972

Leśne zbiorowiska zastępcze:

5. zbiorowisko *Picea abies-Deschampsia flexuosa*
6. zbiorowisko *Picea abies-Molinia caerulea*
7. zbiorowisko *Picea abies-Carex brizoides*
8. zbiorowisko *Acer pseudoplatanus-Rubus* sp.
9. zbiorowisko z *Alnus incana*

Zbiorowiska nieleśne:

Klasa: *Molinio-Arrhenatheretea* Tx. 1937

Rząd: *Poo alpinae-Trisetetalia* Ellmauer et Mucina 1993
Związek: *Trisetum flavescens-Polygonion bistortae*
Br.-Bl. et Tx. ex Marschall 1947
1. *Geranio sylvatici-Trisetetum flavescens*
Knapp ex Oberdorfer 1957

Tabela 2. Lista zbiorowisk roślinnych wyróżnionych na mapie roślinności potencjalnej

Table 2. List of plant communities distinguished on the map of potential vegetation

Lp. No.	Zbiorowisko roślinne Plant community	Powierzchnia Area (ha)
1	<i>Luzulo-Fagion sylvaticae</i>	36,2
2	<i>Alnion incanae</i>	27,1
3	<i>Eriophoro-Piceion abietis</i>	17,1

Rząd: *Molinetalia caeruleae* Koch 1926
Związek: *Calthion palustris* Tx. 1937
2. *Angelico sylvestris-Cirsietum oleracei* Tüxen 1937

3. *Cirsietum rivularis* Nowiński 1927
4. *Scirpetum sylvatici* Ralski 1931
5. zbiorowisko ze związku *Calthion palustris*
6. zbiorowisko z *Carex brizoides*

Klasa: *Nardetea strictae* Rivas Goday et Borja Carbonell in Rivas Goday et Mayor López 1966

Rząd: *Nardetalia strictae* Preising 1950

Związek: *Nardo-Juncion squarrosi* (Oberd. 1957) Passarge 1964

7. *Juncetum squarrosi* Oberdorfer 1934

Klasa: *Artemisietea vulgaris* Lohmeyer et al. in Tx. ex von Rochow 1951

8. zbiorowisko z klasy *Artemisietea vulgaris*

Klasa: *Phragmito-Magnocaricetea* Klika in Klika et Novák 1941

Rząd: *Phragmitetalia* Koch 1926

Związek: *Phragmition communis* Koch 1926

9. *Typhetum angustifoliae* Pignatti 1953
10. *Typhetum latifoliae* Nowiński 1930
11. *Phragmitetum australis* Savič 1926

Rząd: *Magnocaricetalia* Pignatti 1953

Związek: *Magnocaricion elatae* Koch 1926

12. *Equiseto fluviatilis-Caricetum rostratae* Zumpfe 1929

Związek: *Magnocaricion gracilis* Géhu 1961

13. *Phalaridetum arundinaceae* Libbert 1931

Klasa: *Scheuchzerio palustris-Caricetea fuscae* Tx. 1937

Rząd: *Caricetalia fuscae* Koch 1926

Związek: *Caricion fuscae* Koch 1926

14. zbiorowisko ze związku *Caricion fuscae*

3.2. Szczegółowa charakterystyka wyróżnionych zbiorowisk

Equiseto sylvatici-Piceetum abietis Šmarda 1950 (tab. 3)

Bór świerkowy rozwijający się w miejscach lokalnych źródeł i wysięków. W drzewostanie panuje niepodzielnie świerk pospolity. Warstwa krzewów jest zwykle słabo rozwinięta. W runie, obok gatunków typowo borowych, zaznacza się udział licznej grupy gatunków źródliskowych, m.in. *Crepis paludosa*, *Equisetum sylvaticum*, *Glyceria fluitans*, *Carex remota*, *Dactylorhiza fuchsii* oraz *Viola palustris*. Ponadto bardzo dobrze rozwinięta jest warstwa mszysta, osiagająca pokrycie do 80%. Tworzą ją głównie *Polytrichastrum formosum*, *Polytrichum commune*, *Sphagnum girgensohnii* i *S. squarrosum*. Zespół *Equiseto sylvatici-Piceetum abietis* odnotowano na kilku wysiękach w górnym biegu Czerwonej Wody. Zbiorowisko to nie było dotąd wykazywane z Gór Stołowych, jego nieliczne wystąpienia w Sudetach Środkowych znane są m.in. z Gór Bystrzyckich i Orlickich, a także z Masywu Śnieżnika w Sudetach Wschodnich.

Vaccinio uliginosi-Piceetum abietis Schubert 1972 (tab. 3, ryc. 2)

Zespół *Vaccinio uliginosi-Piceetum abietis* występuje najliczniej w środkowym biegu Czerwonej Wody (głównie na

wysokości Torfowiska Batorowskiego) w miejscach, gdzie dolina znacznie się rozszerza, a jej dno jest płaskie. W tej części doliny przy samym brzegu rzeki znajdują się mady stanowiące potencjalne siedlisko łągów, natomiast nieco dalej od koryta, na glebach torfowo-mułowych, wykształciły się duże powierzchnie bagiennych świerczyn – zespołu *Vaccinio uliginosi-Piceetum abietis*. Liczne rowy sugerują, że dawniej był to teren jeszcze bardziej zabagniony. Obecnie obserwuje się tu zubożałą postać zespołu, w wyniku dawnego osuszania brak jest niektórych gatunków torfowiskowych typowych dla tego typu zbiorowisk, np. *Eriophorum vaginatum*, *Oxycoccus palustris* czy *Vaccinium uliginosum*. Wobec zarastania dawnych rowów i ponownego zabagniania doliny następuje tu powolna regeneracja bagiennych świerczyn. Drzewostan tworzy wyłącznie świerk, a warstwa krzewów, o ile jest rozwinięta, budowana jest przez młode pokolenie świerka. Warstwa zielna zdominowana jest przez gatunki borowe (*Calamagrostis villosa*, *Vaccinium myrtillus*, *Deschampsia flexuosa*). Cechą charakterystyczną jest silnie rozwinięta warstwa mszysta z dużym udziałem torfowców (*Sphagnum girgensohnii*, *S. russowii* i *S. capillifolium*) i innych acydofilnych mszaków (*Bazzania trilobata*, *Leucobryum glaucum* i *Dicranodontium denudatum*). Świerczyny bagienne występują lokalnie i w rozproszeniu w Górach Stołowych, największe ich powierzchnie znajdują się w otoczeniu Wielkiego Torfowiska Batorowskiego (Potocka 1999; Pender 2008). Zbiorowisko to znane jest również z sąsiednich pasm sudeckich: Gór Bystrzyckich, Gór Kamiennych i Masywu Śnieżnika (M. Smoczyk – obserwacje własne).

Zbiorowisko *Picea abies-Deschampsia flexuosa* (tab. 4, ryc. 3)

Zbiorowisko zastępcze z drzewostanem świerkowym występuje głównie na ubogim siedlisku kwaśnych buczyn. Występuje też przy samym korycie, zajmując część potencjalnego siedliska łągów. Zbiorowisko powstało jako las gospodarczy w wyniku wprowadzania upraw świerka na siedliska lasów liściastych i mieszanych. W runie występują gatunki roślin acidofilnych, m.in. *Vaccinium myrtillus*, *Calamagrostis villosa*, *Deschampsia flexuosa*, *Maianthemum bifolium* czy *Oxalis acetosella*. Warstwa mszysta osiąga do 40% pokrycia i budują ją głównie *Polytrichastrum formosum*, *Dicranum scoparium* i *Pleurozium schreberii*. W miejscach nieco bardziej wilgotnych pojawia się również *Sphagnum girgensohnii*. Zbiorowisko *Picea abies-Deschampsia flexuosa* zdecydowanie dominuje w krajobrazie doliny Czerwonej Wody, jest najszerzej rozpowszechnionym zbiorowiskiem roślinnym. Występuje zarówno w Górach Stołowych, jak i w przyлегłych pasmach górskich Sudetów.

Pozostałe zbiorowiska leśne

W dolnym biegu Czerwonej Wody, w miejscowości Batorów przy granicy PNGS, zidentyfikowano niewielki płat łągu, który reprezentuje zespół *Stellario nemorum-Alnetum glutinosae*. Drzewostan tworzą klony jawor i zwyczajny z domieszka świerka. Warstwa krzewów osiąga niewielkie zwar-

Tabela 3. Tabela fitosocjologiczna zespołów *Equiseto sylvatici-Piceetum abietis* (Es-Pa) Šmarda 1950 i *Vaccinio uliginosi-Piceetum abietis* (Vu-Pa) Schubert 1972. Kolorem jasnoszarym zaznaczono gatunki diagnostyczne w skali regionalnej.

Table 3. Phytosociological table presenting *Equiseto sylvatici-Piceetum abietis* (Es-Pa) Šmarda 1950 and *Vaccinio uliginosi-Piceetum abietis* (Vu-Pa) Schubert 1972 associations. Regionally diagnostic species are marked by light grey colour.

Numer kolejny Consecutive no.	1	2	3	4	5	6	7	8				
Numer zdjęcia Relevé no.	7	11	12	38	43	45	49	59				
Data zrobienia zdjęcia Date	2017 08 28	2017 08 29	2017 08 29	2017 08 30	2017 08 30	2017 08 30	2017 08 31	2017 09 07				
Powierzchnia zdjęcia [m ²] Plot area [m ²]	200	200	200	200	200	200	200	200				
Zwarcie warstwy drzew Cover of tree layer	70	40	25	60	60	20	40	70	Stalność / Constancy Es-Pa (%)	Stalność / Constancy Vu-Pa (%)		
Zwarcie warstwy krzewów Cover of shrub layer	1	1	30	35	5	1	5	10				
Pokrycie warstwy zielnej Cover of herb layer	40	40	40	40	35	50	60	40				
Pokrycie warstwy mszystej Cover of moss layer	40	80	80	80	70	50	60	50				
Liczba gatunków Number of species	26	30	36	17	14	16	12	19				
			<i>Equiseto sylvatici-Piceetum abietis</i>			<i>Vaccinio uliginosi-Piceetum abietis</i>						
<i>Picea abies</i>	a	4	3	2		4	4	.	3	4		
<i>Picea abies</i>	b	+	+	3		.	1	+	1	2	100	100
<i>Picea abies</i>	c	1	+	+		+	1	2	2	1		
<i>Calamagrostis villosa</i>	c	2	2	1		2	2	2	2	3	100	100
<i>Polytrichastrum formosum</i>	d	2	2	+		1	1	2	1	2	100	100
<i>Sphagnum girgensohnii</i>	d	2	2	2		4	4	3	3	3	100	100
<i>Vaccinium myrtillus</i>	c	2	2	1		.	+	1	3	+	100	80
<i>Cardamine amara</i>	c	.	.	+		33	0
<i>Chaerophyllum hirsutum</i>	c	.	1	1		67	0
<i>Circaea alpina</i>	c	+	.	+		67	0
<i>Crepis paludosa</i>	c	1	1	+		100	0
<i>Dryopteris dilatata</i>	c	.	.	+		33	0
<i>Equisetum sylvaticum</i>	c	+	+	+		+	100	20
<i>Stellaria nemorum</i>	c	.	.	+		33	0
<i>Dicranodontium denudatum</i>	d	+	+	.	33	20
<i>Polytrichum commune</i>	d	.	2	2		+	67	20
<i>Sphagnum palustre</i>	d	.	+	33	0
<i>Sphagnum squarrosum</i>	d	.	.	2		33	0

<i>Ranunculus repens</i>	c	+	+	+	100	0
<i>Athyrium filix-femina</i>	c	+	+	1	100	0
<i>Glyceria fluitans</i>	c	+	2	2	100	0
<i>Juncus effusus</i>	c	.	+	+	.	.	+	.	.	67	20
<i>Lysimachia nemorum</i>	c	r	+	1	100	0
<i>Carex remota</i>	c	.	+	+	67	0
<i>Dactylorhiza fuchsii</i>	c	.	r	+	67	0
<i>Deschampsia caespitosa</i>	c	r	.	+	67	0
<i>Viola palustris</i>	c	.	+	+	67	0
<i>Senecio ovatus</i>	c	+	.	+	67	0
<i>Sphagnum russowii</i>	d	.	.	1	.	.	1	+	.	33	40
<i>Hypnum cupressiforme</i>	d	.	.	.	+	+	.	.	1	0	60
<i>Pleurozium schreberi</i>	d	1	1	1	0	60
<i>Galium saxatile</i>	c	.	.	.	+	+	.	.	.	0	40
<i>Deschampsia flexuosa</i>	c	1	1	.	1	2	1	2	2	67	100
<i>Dryopteris carthusiana</i>	c	+	+	+	+	1	+	.	+	100	80
<i>Oxalis acetosella</i>	c	2	+	+	2	+	+	.	2	100	80
<i>Dicranum scoparium</i>	d	1	1	.	1	+	.	2	.	67	60
<i>Maianthemum bifolium</i>	c	+	+	.	+	+	.	.	+	67	60
<i>Sorbus aucuparia</i>	c	+	+	.	+	+	.	.	.	67	40
<i>Betula pendula</i>	b	.	.	r	2	.	.	.	r	33	40
<i>Fagus sylvatica</i>	c	1	+	.	1	67	20
<i>Trientalis europaea</i>	c	.	+	.	.	+	.	.	+	33	40
<i>Betula pendula</i>	c	+	2	.	0	40
<i>Carex echinata</i>	c	.	.	+	.	.	+	.	.	33	20
<i>Fagus sylvatica</i>	b	+	.	.	2	33	20
<i>Leucobryum glaucum</i>	d	.	.	.	r	.	.	+	.	0	40
<i>Sphagnum fallax</i>	d	1	2	.	.	33	20
<i>Sphagnum sp.</i>	d	.	2	2	67	0

Sporadycznie / rare species: b *Rubus idaeus* 3.+ , c *Carex brizoides* 8.1, c *C. nigra* 6.2, c *C. sylvatica* 1.+ , c *Epilobium palustre* 3.+ , c *Equisetum palustre* 3.+ , c *Galium palustre* 3.1, c *Gymnocarpium dryopteris* 1.1, c *Homogyne alpina* 2.+ , c *Hypericum perforatum* 2.+ , c *Lysimachia vulgaris* 8.+ , c *Melampyrum pratense* 1.+ , c *Molinia caerulea* 6.+ , c *Myosotis palustris* 3.+ , c *Polygonatum verticillatum* 8.+ , c *Potentilla erecta* 2.r, c *Rubus idaeus* 3.+ , c *Tussilago farfara* 3.+ , c *Veratrum lobelianum* 8.+ , d *Mnium hornum* 8.2, d *Plagiomnium undulatum* 4.+

cie, jednak tworzy ją aż pięć gatunków: *Acer pseudoplatanus*, *Lonicera nigra*, *Ribes rubrum*, *Ribes uva-crispa* i *Sambucus nigra*. Bujne runo zdominowane jest przez gatunki typowo łąkowe, m.in. *Impatiens noli-tangere*, *Cirsium oleraceum*, *Petasites albus*, *Phalaris arundinacea*, *Rubus idaeus*, *Stella-*

ria nemorum, *Thalictrum aquilegiifolium*, *Urtica dioica* oraz *Senecio ovatus* (ryc. 4). Ponadto zidentyfikowano kilka płatów zbiorowisk lasów łąkowych, które nie posiadały zestawu gatunków charakterystycznych umożliwiających określenie ich dokładniejszej przynależności syntaksonomicznej niż

związek *Alnion incanae*. W kilku miejscach doliny Czerwonej Wody występują zbiorowiska tworzone przez olszę szarą, w których runie brak jednak gatunków łągowych. Występują tu głównie gatunki przechodzące z sąsiednich zbiorowisk le-

śnych lub gatunki wcześniejszych etapów sukcesyjnych (np. łąk). Takie fitocenozy określano mianem zbiorowiska z *Alnus incana*. Z kolei na obrzeżach Batorowa rozpoznano fitocenozę pośrednią pomiędzy typem lasu stokowego ze związku *Ace-*



Rycina 2. Płat zespołu *Vaccinio uliginosi-Piceetum abietis* z charakterystyczną, silnie rozwiniętą warstwą mszystą

Figure 2. Association *Vaccinio uliginosi-Piceetum abietis* with well-developed moss layer



Rycina 3. Zbiorowisko *Picea abies-Deschampsia flexuosa*

Figure 3. Community *Picea abies-Deschampsia flexuosa*

Tabela 4. Tabela fitosocjologiczna zbiorowiska *Picea abies-Deschampsia flexuosa*

Table 4. Phytosociological table presenting community *Picea abies-Deschampsia flexuosa*

Numer kolejny Consecutive no.	1	2	3	4	5	
Numer zdjęcia Relevé no.	35	37	42	55	56	
Data zrobienia zdjęcia Date	2017 08 30	2017 08 30	2017 08 30	2017 09 07	2017 09 07	
Powierzchnia zdjęcia [m ²] Plot area [m ²]	200	200	200	200	200	
Zwarcie warstwy drzew Cover of tree layer	40	60	60	75	80	Stalność / Constancy (%)
Zwarcie warstwy krzewów Cover of shrub layer	10	30	10	1	0	
Pokrycie warstwy zielnej Cover of herb layer	60	60	40	2	1	
Pokrycie warstwy mszystej Cover of moss layer	40	20	20	30	20	
Liczba gatunków Number of species	15	23	16	13	13	
<i>Picea abies</i> a	3	4	4	3	5	
<i>Picea abies</i> b	2	2	.	.	.	
<i>Picea abies</i> c	1	1	+	.	+	

<i>Fagus sylvatica</i>	b	.	2	2	+	.	60
<i>Fagus sylvatica</i>	c	.	1	1	.	.	
<i>Calamagrostis villosa</i>	c	1	1	2	+	+	100
<i>Deschampsia flexuosa</i>	c	2	3	2	r	+	100
<i>Dryopteris carthusiana</i>	c	+	+	+	r	r	100
<i>Vaccinium myrtillus</i>	c	2	1	1	+	+	100
<i>Polytrichastrum formosum</i>	d	1	1	2	1	1	100
<i>Dicranum scoparium</i>	d	2	.	+	+	+	80
<i>Maianthemum bifolium</i>	c	+	+	+	.	.	60
<i>Oxalis acetosella</i>	c	+	1	2	.	.	60
<i>Sorbus aucuparia</i>	c	+	+	+	.	.	60
<i>Pleurozium schreberi</i>	d	+	1	.	2	.	60
<i>Sphagnum girgensohnii</i>	d	2	1	1	.	.	60
<i>Luzula pilosa</i>	c	.	r	+	.	.	40
<i>Bazzania trilobata</i>	d	+	.	.	.	+	40
<i>Dicranodontium denudatum</i>	d	+	.	.	.	+	40
<i>Hypnum cupressiforme</i>	d	.	.	.	+	+	40
<i>Abies alba</i>	a	.	.	.	2	.	20
<i>Larix decidua</i>	a	.	.	.	2	.	20
<i>Athyrium filix-femina</i>	c	.	+	.	.	.	20
<i>Calamagrostis arundinacea</i>	c	.	.	r	.	.	20
<i>Dryopteris dilatata</i>	c	.	r	.	.	.	20
<i>Galium saxatile</i>	c	.	+	.	.	.	20
<i>Homogyne alpina</i>	c	.	+	.	.	.	20
<i>Lysimachia nemorum</i>	c	.	+	.	.	.	20
<i>Polygonatum verticillatum</i>	c	.	.	+	.	.	20
<i>Prenanthes purpurea</i>	c	+	20
<i>Rubus idaeus</i>	c	.	r	.	.	.	20
<i>Senecio ovatus</i>	c	.	r	.	.	.	20
<i>Stellaria nemorum</i>	c	.	+	.	.	.	20
<i>Thelypteris phegopteris</i>	c	.	.	+	.	.	20
<i>Dicranella heteromalla</i>	d	+	20
<i>Dicranum polysetum</i>	d	.	.	.	2	.	20
<i>Leucobryum glaucum</i>	d	+	20
<i>Mnium hornum</i>	d	.	1	.	.	.	20
<i>Polytrichum commune</i>	d	1	20
<i>Sphagnum fallax</i>	d	.	+	.	.	.	20

rion pseudoplatani a lasem łągowym ze związku *Alnion incanae*. Liczba gatunków roślin zielnych była ograniczona ze względu na ekspansję jeżyn, co dodatkowo utrudniało określenie przynależności fitosocjologicznej, dlatego fitocenozę określono jako zbiorowisko *Acer pseudoplatanus-Rubus* sp.

Oprócz wyżej wymienionych, stwierdzono jeszcze dwa zbiorowiska będące formami degeneracji bagiennych świerczyn. Zbiorowisko *Picea abies-Molinia caerulea* to bór świerkowy na przesuszonych torfach z całkowitą dominacją *Molinia caerulea* w runie. Z kolei zbiorowisko *Picea abies-Carex brizoides* to bór świerkowy z masowym udziałem ekspansywnej turzycy *Carex brizoides*. Oba zbiorowiska występują na bardzo niewielkich powierzchniach w środkowym biegu doliny Czerwonej Wody i zostały udokumentowane pojedynczymi zdjęciami fitosocjologicznymi.

Zbiorowiska nieleśne

Na badanym obszarze stwierdzono występowanie 6 typów zbiorowisk łąkowych. Do najczęstszych należą wilgotne łąki ze związku *Calthion palustris*, reprezentowane głównie przez łąki ostrożeńiowe z ostrożeniem warzywnym *Angelico sylvestris-Cirsietum oleracei* (tab. 5, ryc. 5). W ich kompleksach, na niewielkich powierzchniach i w rozproszeniu, występują zbiorowiska reprezentujące zespół sitowia leśnego *Scirpetum sylvatici*. Zidentyfikowano także niewielkie płyty łąki ostrożeńiowej z ostrożeniem łąkowym *Cirsietum rivularis*. W dolinie Czerwonej Wody występuje również charakterystyczne zbiorowisko z niepodzielnie panującą turzycą drżączkowatą. Jest to typowe zbiorowisko związane z murszejącymi w wyniku przesuszenia torfowiskami. W ramach związku *Calthion palustris* wyróżnia się jednak czasami podobne zbiorowisko, charakteryzujące się – obok turzycy drżączkowatej – udziałem gatunków łąkowych – zespołu *Scirpo sylvatici-Caricetum brizoidis* Kučera et al. 1994. Z tego względu występujące w dolinie Czerwonej Wody zbiorowisko z *Carex brizoides* włączono do grupy zbiorowisk łąkowych. W miejscach położonych nieco wyżej w stosunku do poziomu wód gruntowych, na glebach świeżych, występują łąki konietlicowe reprezentujące zespół *Geranio sylvatici-Trisetetum flavescens* (tab. 5). Charakteryzują się one występowaniem obok siebie gatunków ubogich muraw (np. *Agrostis capillaris*, *Nardus stricta*, *Campanula rotundifolia*, *Potentilla erecta*) oraz gatunków górskich ziołorośli (m.in. *Cirsium helenioides*, *Chaerophyllum aromaticum*, *Angelica sylvestris*, *Polygonum bistorta*, *Senecio nemorensis* s.l.). Wszystkie te zbiorowiska łąkowe są częstym elementem roślinności zarówno w Górach Stołowych, jak i w sąsiednich sudeckich pasmach górskich. W miejscach wilgotnych i zatofionych, charakteryzujących się niskim poziomem troficzności, wykształciły się również wilgotne murawy bliźniczkowe (tzw. wilgotne psiary) reprezentujące zespół *Juncetum squarrosi* (ryc. 6, tab. 5). Choć sam *Juncus squarrosus* jest tu stosunkowo nieliczny, zespół jest dobrze zdefiniowany poprzez udział innych gatunków charakterystycznych, m.in. *Nardus stricta*, *Potentilla erecta*, *Galium saxatile*, *Luzula campestris* i *Carex nigra*. Zbiorowiska wilgotnych psiar są rzadkie w Górach Stołowych (Pender 2008), nieczęste – w Sudetach Środkowych,



Rycina 4. Zespół *Stellario nemorum-Alnetum glutinosae*
Figure 4. Association *Stellario nemorum-Alnetum glutinosae*



Rycina 5. Wilgotna łąka z ostrożeniem warzywnym *Angelico sylvestris-Cirsietum oleracei*
Figure 5. Wet meadow with cabbage thistle (association *Angelico sylvestris-Cirsietum oleracei*)



Rycina 6. Wilgotne murawy bliźniczkowe reprezentujące zespół *Juncetum squarrosi*
Figure 6. Wet grasslands of *Juncus squarrosus* and *Nardus stricta* (association *Juncetum squarrosi*)

Tabela 5. Tabela fitosocjologiczna zespołów *Geranio sylvatici-Trisetetum flavescens* (Gs-Tf) Knapp ex Oberdorfer 1957, *Angelico sylvestris-Cirsietum oleracei* (As-Co) Tüxen 1937 i *Juncetum squarrosi* (Js) Oberdorfer 1934. Kolorem jasnoszarym zaznaczono gatunki diagnostyczne w skali regionalnej.

Table 5. Phytosociological table presenting *Geranio sylvatici-Trisetetum flavescens* (Gs-Tf) Knapp ex Oberdorfer 1957, *Angelico sylvestris-Cirsietum oleracei* (As-Co) Tüxen 1937 and *Juncetum squarrosi* (Js) Oberdorfer 1934 associations. Regionally diagnostic species are marked by light grey colour.

Numer kolejny Consecutive no.	1	2	3	4	5	6	7	8	9	10	11	12				
Numer zdjęcia Relevé no.	21	22	28	33	15	18	25	30	34	39	40	41				
Data zrobienia zdjęcia Date	2017 08 29	2017 08 29	2017 08 29	2017 08 30	2017 08 29	2017 08 29	2017 08 29	2017 08 29	2017 08 29	2017 08 30	2017 08 30	2017 08 30	Stalność / Constancy (Gs-Tf) (%)	Stalność / Constancy (As-Co) (%)	Stalność / Constancy (Js) (%)	
Powierzchnia zdjęcia [m ²] Plot area [m ²]	25	25	25	25	25	25	25	25	25	25	25	25				
Zwarcie warstwy zielnej Cover of herb layer	90	90	95	90	95	100	100	100	85	90	80	90				
Zwarcie warstwy mszyste Cover of moss layer	0	0	0	0	0	0	0	0	0	0	5	1				
Liczba gatunków Number of species	31	33	31	26	32	28	18	33	19	13	20	19				
<i>Molinio-Arrhenatheretea</i>						<i>Calluno-Ulicetea</i>										
		<i>Geranio sylvatici- Trisetetum flavescens</i>				<i>Angelico sylvestris- Cirsietum oleracei</i>				<i>Juncetum squarrosi</i>						
<i>Alopecurus pratensis</i>	c	.	.	+	+	+	+	.	1	50	75	0
<i>Lathyrus pratensis</i>	c	.	.	+	+	.	+	1	1	50	75	0
<i>Rumex acetosa</i>	c	+	.	+	+	+	.	.	+	+	+	.	.	75	50	75
<i>Ranunculus acris</i>	c	+	.	+	.	+	.	.	.	+	.	.	.	50	25	25
<i>Dactylis glomerata</i>	c	+	3	2	1	2	2	2	2	+	.	.	.	100	100	25
<i>Achillea millefolium</i>	c	+	1	+	+	.	.	+	+	1	.	.	.	100	50	25
<i>Alchemilla</i> sp.	c	+	+	+	.	1	.	+	+	75	75	0
<i>Veronica chamaedrys</i>	c	+	.	+	1	1	+	+	+	1	.	.	.	75	100	25
<i>Phleum pratense</i>	c	1	.	.	+	1	1	.	+	50	75	0
<i>Agrostis capillaris</i>	c	3	2	3	3	2	+	.	+	2	1	+	.	100	75	75
<i>Hypericum maculatum</i>	c	2	2	2	2	2	.	.	.	100	0	25
<i>Vicia cracca</i>	c	+	+	1	+	.	.	.	+	+	.	.	.	100	25	25
<i>Campanula rotundifolia</i>	c	+	+	.	+	+	.	.	.	+	.	+	+	75	25	75
<i>Cardaminopsis halleri</i>	c	+	+	.	+	+	.	.	+	75	50	0
<i>Cirsium helenioides</i>	c	+	+	2	2	1	.	100	0	25
<i>Chaerophyllum aromaticum</i>	c	+	+	+	.	.	.	1	75	25	0
<i>Cirsium oleraceum</i>	c	.	+	.	.	3	3	2	3	25	100	0

<i>Angelica sylvestris</i>	c	+	1	1	.	1	+	r	1	75	100	0	
<i>Filipendula ulmaria</i>	c	+	1	0	50	0	
<i>Scirpus sylvaticus</i>	c	+	.	.	.	2	.	1	0	25	50	
<i>Phalaris arundinacea</i>	c	.	.	.	+	.	+	2	2	25	75	0	
<i>Chaerophyllum hirsutum</i>	c	+	.	1	+	.	.	.	0	75	0	
<i>Hypericum perforatum</i>	c	+	+	.	2	.	.	+	0	75	25	
<i>Poa trivialis</i>	c	+	+	0	50	0	
<i>Nardus stricta</i>	c	1	3	2	2	2	25	0	100
<i>Potentilla erecta</i>	c	+	+	1	1	1	1	50	0	100
<i>Deschampsia flexuosa</i>	c	1	.	2	2	0	0	75
<i>Galium saxatile</i>	c	2	4	4	0	0	75
<i>Carex nigra</i>	c	.	.	+	.	.	+	1	1	2	25	25	75
<i>Luzula campestris</i>	c	+	+	1	.	0	0	75
<i>Deschampsia caespitosa</i>	c	1	+	+	1	2	1	.	+	.	.	2	+	+	100	75	75
<i>Festuca rubra</i>	c	2	2	+	2	2	+	.	+	.	1	+	+	100	75	75	
<i>Stellaria graminea</i>	c	+	+	+	+	+	+	.	+	.	+	+	+	100	75	75	
<i>Holcus mollis</i>	c	1	1	1	1	.	+	.	.	1	+	.	+	100	25	75	
<i>Polygonum bistorta</i>	c	2	1	.	+	+	2	.	1	+	.	.	+	75	75	50	
<i>Senecio nemorensis</i> s.l.	c	+	1	1	+	.	+	2	1	100	75	0	
<i>Poa pratensis</i>	c	+	.	+	+	+	.	.	+	75	0	50	
<i>Vicia sepium</i>	c	.	+	+	+	+	.	+	75	50	0	
<i>Campanula patula</i>	c	.	+	+	+	.	.	.	+	75	25	0	
<i>Galeopsis pubescens</i>	c	+	.	+	.	.	.	+	+	50	50	0	
<i>Juncus conglomeratus</i>	c	2	.	.	.	1	+	+	0	25	75	
<i>Knautia arvensis</i>	c	+	+	.	.	+	.	.	.	+	.	.	.	50	25	25	
<i>Ranunculus repens</i>	c	r	+	.	+	1	75	25	0	
<i>Sanguisorba officinalis</i>	c	.	.	+	.	+	1	.	+	25	75	0	
<i>Briza media</i>	c	+	+	+	.	.	.	50	0	25	
<i>Heracleum sphondylium</i>	c	.	+	+	.	+	50	25	0	
<i>Pimpinella major</i>	c	.	+	.	.	+	.	.	+	25	50	0	
<i>Rumex obtusifolius</i>	c	.	.	r	.	.	+	+	25	50	0	
<i>Aegopodium podagraria</i>	c	.	+	.	+	50	0	0	
<i>Carex pallescens</i>	c	+	+	0	0	50
<i>Carex pilulifera</i>	c	r	+	0	0	50
<i>Geum rivale</i>	c	+	.	.	+	0	50	0	

Tabela 6. Tabela fitosocjologiczna zespołu *Phalaridetum arundinaceae* (Pa) Libbert 1931 i zbiorowiska ze związku *Caricion canescenti-nigrae* (Cc-n). Kolorem jasnoszarym zaznaczono gatunki diagnostyczne w skali regionalnej.

Table 6. Phytosociological table presenting *Phalaridetum arundinaceae* (Pa) Libbert 1931 association and community of *Caricion canescenti-nigrae* (Cc-n) alliance. Regionally diagnostic species are marked by light grey colour.

Numer kolejny Consecutive no.	1	2	3	4	5	6	Stalność / Constancy (Pa) (%)	Stalność / Constancy (zbiorowiska ze związku / association and community of the alliance Cc-n) (%)	
Numer zdjęcia Relevé no.	23	24	31	8	9	10			
Data zrobienia zdjęcia Date	2017 08 29	2017 08 29	2017 08 29	2017 08 28	2017 08 28	2017 08 28			
Powierzchnia zdjęcia [m ²] Plot area [m ²]	25	25	25	25	25	25			
Pokrycie warstwy zielonej Cover of herb layer	100	100	100	40	55	55			
Pokrycie warstwy mszystej Cover of moss layer	0	0	0	75	80	80			
Liczba gatunków Number of species	5	9	5	22	15	13			
	<i>Phalaridetum arundinaceae</i>			zbiorowiska ze związku / asso- ciation and community of the al- liance <i>Caricion canescenti-nigrae</i>					
<i>Phalaris arundinacea</i>	c	5	5	5	.	.	.	100,0	0,0
<i>Carex echinata</i>	c	.	.	.	+	+	+	0,0	100,0
<i>Carex nigra</i>	c	.	.	.	+	1	.	0,0	66,7
<i>Carex curta</i>	c	.	.	.	+	.	.	0,0	33,3
<i>Juncus filiformis</i>	c	.	.	.	1	1	2	0,0	100,0
<i>Urtica dioica</i>	c	2	2	2	.	.	.	100,0	0,0
<i>Filipendula ulmaria</i>	c	+	r	+	.	.	.	100,0	0,0
<i>Stellaria nemorum</i>	c	.	2	2	+	.	.	66,7	33,3
<i>Cirsium oleraceum</i>	c	+	33,3	0,0
<i>Deschampsia caespitosa</i>	c	+	33,3	0,0
<i>Chaerophyllum hirsutum</i>	c	.	2	33,3	0,0
<i>Lathyrus pratensis</i>	c	.	r	33,3	0,0
<i>Galeopsis</i> sp.	c	.	r	33,3	0,0
<i>Senecio nemorensis</i> s.l.	c	.	1	33,3	0,0
<i>Polygonum bistorta</i>	c	.	.	+	.	.	.	33,3	0,0
<i>Juncus effusus</i>	c	.	.	.	1	1	+	0,0	100,0
<i>Polytrichum commune</i>	d	.	.	.	4	4	3	0,0	100,0
<i>Sphagnum fallax</i>	d	.	.	.	+	2	3	0,0	100,0
<i>Equisetum palustre</i>	c	.	r	.	+	+	+	33,3	100,0
<i>Athyrium filix-femina</i>	c	.	.	.	+	r	.	0,0	66,7

<i>Calamagrostis epigeios</i>	c	.	.	.	2	+	.	0,0	66,7
<i>Carex ovalis</i>	c	.	.	.	+	+	.	0,0	66,7
<i>Dryopteris carthusiana</i>	c	.	.	.	+	.	+	0,0	66,7
<i>Galium palustre</i>	c	.	.	.	+	+	.	0,0	66,7
<i>Glyceria fluitans</i>	c	.	.	.	1	.	2	0,0	66,7
<i>Holcus mollis</i>	c	.	.	.	+	2	.	0,0	66,7
<i>Calamagrostis villosa</i>	c	2	2	0,0	66,7
<i>Sphagnum girgensohnii</i>	d	2	3	0,0	66,7

Sporadycznie / rare species: c *Agrostis capillaris* 6.2, c *Carex remota* 4.+ , c *Epilobium palustre* 4.+ , c *Equisetum sylvaticum* 5.+ , c *Hypericum perforatum* 4.+ , c *Ranunculus repens* 4.+ , c *Rubus idaeus* 4.r, c *Sorbus aucuparia* 6.r, c *Vaccinium myrtillus* 6.+ , d *Sphagnum* sp. 4.1

glandulifera, *I. parviflora*, *Lupinus polyphyllus*), a ich populacje są bardzo nieliczne. Niecierpek gruczołowaty *Impatiens glandulifera* jest prawdopodobnie uciekinierem z dawnych hodowli w przydomowych ogródkach w rejonie Karłowa. Natomiast wnikanie niecierpka drobnokwiatowego *I. parviflora* do zbiorowisk leśnych prawdopodobnie ograniczane jest przez niską trofię siedlisk leśnych w dolinie Czerwonej Wody. Choć w obecnym stanie rośliny te nie wywierają istotnego negatywnego wpływu na ekosystemy nadrzeczne, ich populacje powinny być regularnie monitorowane. Jest to szczególnie istotne w obliczu ewentualnych prac związanych z renaturyzacją Czerwonej Wody, daje to również możliwość zaplanowania całkowitego wyeliminowania gatunków o największym potencjale inwazyjnym.

Poważnym problemem jest zniszczenie siedlisk hydrogenicznych. Poza samym znaczeniem dla zachowania różnorodności biologicznej, siedliska te odpowiadają w głównej mierze za ochronę zasobów wodnych (Malanson 1993; Richter et al. 2003; Naiman et al. 2005). W dolinie Czerwonej Wody znajdują się liczne ślady osuszania tego obszaru. Mimo iż częściowo zarosnięte, rowy te wciąż przyspieszają odpływ ogromnych ilości wody, która mogłaby być retencjonowana przez ekosystemy mokradłowe. Biorąc pod uwagę problemy z zaopatrzeniem w wodę pobliskich miejscowości (m.in. Batorów), działania zmierzające do powstrzymania odpływu wody i odtworzenie naturalnej retencji powinny być absolutnym priorytetem, jeśli rozważane są plany renaturyzacji doliny Czerwonej Wody.

W przypadku planowanej renaturyzacji należy wziąć pod uwagę uwarunkowania środowiskowe zaprezentowane w niniejszym opracowaniu. Dotychczasowe próby poprawy ekologicznego stanu ekosystemów, np. zastosowane sposoby przebudowy drzewostanów świerkowych, wydają się mało skuteczne. W trakcie badań terenowych zaobserwowano np. młode pokolenie buka, posadzone w borze bagiennym pod okapem świerka, rokujące małe nadzieje na wzrost i rozwój w takich warunkach. Wydaje się, że sporządzone w ramach tego opracowania kompleksowe rozpoznanie siedlisk, a także wykonana mapa roślinności potencjalnej, pozwoli na precyzyjne dostosowanie ewentualnych przedsięwzięć do warunków środowiska przyrodniczego.

Konflikt interesów

Autorzy deklarują brak potencjalnych konfliktów.

Podziękowania i źródła finansowania

Badania sfinansowano ze środków Funduszu Leśnego (Dyrekcji Generalnej Lasów Państwowych w Warszawie) w ramach pracy badawczej pt. „Rozpoznanie i ocena aktualnego stanu siedlisk przyrodniczych w otoczeniu rzeki Czerwona Woda” wykonanej na podstawie umowy pomiędzy Parkiem Narodowym Gór Stołowych a Instytutem Dendrologii Polskiej Akademii Nauk oraz częściowo z dotacji przyznanej przez MNiSW na działalność statutową Wydziału Leśnego Uniwersytetu Rolniczego im. H. Kołłątaja w Krakowie (DS 3421/ZBL).

Literatura

- Adynkiewicz-Piragas M., Bogusz A., Chudzik B., Garncarz-Wilk B., Lejcuś I., Malicka J., Mordalska H., Pasiecznik A., Tokarczyk T. 2011. Warunki hydrologiczne Gór Stołowych, w: Chodak T., Kabała C., Kaszubkiewicz J., Migoń P., Wojewoda J. (red.), Geoekologiczne warunki środowiska przyrodniczego Parku Narodowego Gór Stołowych (monografia). WIND, Wrocław, 169–182.
- Allan J. D. 2004. Landscapes and Riverscapes: The Influence of Land Use on Stream Ecosystems. *Annual Review of Ecology, Evolution and Systematics* 35(1): 257–284. DOI 10.1146/annurev.ecolsys.35.120202.110122.
- Barzdajn W., Ceitel J., Danielewicz W., Zientarski J. 1999. Leśnictwo proekologiczne. Wydawnictwo Akademii Rolniczej im. Augusta Cieszkowskiego w Poznaniu, Poznań, 106 s. ISBN 83-7160-182-4.
- Catford J.A., Downes B.J., Gippel C.J., Vesk P.A. 2011. Flow regulation reduces native plant cover and facilitates exotic invasion in riparian wetlands. *Journal of Applied Ecology* 48(2): 432–442. DOI 10.1111/j.1365-2664.2010.01945.x.
- Chytrý M. 2007. Grassland and Heathland Vegetation. Vegetation of the Czech Republic. 1. Academia, Praha. ISBN 978-80-200-1462-7.
- Chytrý M. 2009. Ruderal, Weed, Rock and Scree Vegetation. Vegetation of the Czech Republic. 2. Academia, Praha. ISBN 978-80-200-1769-7.

- Chytrý M. 2011. Aquatic and Wetland Vegetation. Vegetation of the Czech Republic. 3. Academia, Praha. ISBN 978-80-200-1918-9.
- Chytrý M. 2015. Forest and Scrub Vegetation. Vegetation of the Czech Republic. 4. Academia, Praha. ISBN 978-80-200-2299-8.
- Dyderski M.K., Gdula A.K., Jagodziński A.M. 2015. “The rich get richer” concept in riparian woody species – A case study of the Warta River Valley (Poznań, Poland). *Urban Forestry & Urban Greening* 14(1): 107–114. DOI 10.1016/j.ufug.2014.12.003.
- Dzwonko Z. 2007. Przewodnik do badań fitosocjologicznych. Vademecum Geobotanicum. Sorus, Instytut Botaniki UJ, Poznań-Kraków. ISBN 978-83-899-23-3.
- Fiek E. 1881. Flora von Schlesien preussischen und österreichischen Antheils, enthaltend die wildwachsenden, verwilderten und angebauten Phanerogamen und Gefäss-Cryptogamen. J. U. Kern's Verlag, Breslau.
- Foster S.G., Rood S.B. 2017. River regulation and riparian woodlands: Cottonwood conservation with an environmental flow regime along the Waterton River, Alberta. *River Research and Applications* 33(7): 1088–1097. DOI 10.1002/rra.3156.
- González E., Felipe-Lucia M.R., Bourgeois B., Boz B., Nilsson C., Palmer G., Sher A.A. 2017. Integrative conservation of riparian zones. *Biological Conservation* 211(Part B): 20–29. DOI 10.1016/j.biocon.2016.10.035.
- Greet J., Cousens R., Webb J.A. 2013. Seasonal timing of inundation affects riparian plant growth and flowering: implications for riparian vegetation composition. *Plant Ecology* 214(1): 87–101. DOI 10.1007/s11258-012-0148-8.
- Gundersen P., Laurén A., Finér L., Ring E., Koivusalo H., Sætersdal M., Weslien J.-O., Sigurdsson B., Högbom L., Laine J., Hansen K. 2010. Environmental Services Provided from Riparian Forests in the Nordic Countries. *Ambio* 39(8): 555–566. DOI 10.1007/s13280-010-0073-9.
- Johansen K., Phinn S., Lowry J., Douglas M. 2008. Quantifying indicators of riparian condition in Australian tropical savannas: integrating high spatial resolution imagery and field survey data. *International Journal of Remote Sensing* 29(23): 7003–7028. DOI 10.1080/01431160802220201.
- Kabała C., Szerszeń L., Wicik B. 2002a. Geneza, właściwości i systematyka gleb Parku Narodowego Gór Stołowych. *Szczeliniec* 6: 21–94.
- Kabała C., Szerszeń L., Wicik B. 2002b. Mapa gleb Parku Narodowego Gór Stołowych. *Szczeliniec* 6 (wkładka).
- Kaźmierczakowa R., Bloch-Orłowska J., Celka Z., Cwener A., Dajdok Z., Michalska-Hejduk D., Pawlikowski P., Szczęśniak E., Ziarnik K. 2016. Polska czerwona lista paprotników i roślin kwiatowych. Instytut Ochrony Przyrody PAN, Kraków. ISBN 978-83-61191-88-9.
- KRNAP 2012. Historia lasu - dziewięć stuleci puszczy karkonoskich. Správa Krkonošského národního parku, Vrchlabí. ISBN 978-80-86418-96-4.
- Macfarlane W. W., Gilbert J. T., Jensen M. L., Gilbert J. D., Hough-Snee N., Mchugh P. A., Wheaton J. M., Bennett S. N. 2017. Riparian vegetation as an indicator of riparian condition: Detecting departures from historic condition across the North American West. *Journal of Environmental Management* 202(Part 2): 447–460. DOI 10.1016/j.jenvman.2016.10.054.
- Malanson G. P. 1993. Riparian landscapes. Cambridge University Press, Cambridge, 296 s. ISBN 9780521566834.
- Matuszkiewicz J. M. 2001. Zespoły leśne Polski. Wydawnictwo Naukowe PWN, Warszawa, 357 s. ISBN 9788301134013.
- Migoń P., Latocha A., Parzóch K., Kasprzak M., Owczarek P., Witek M., Pawlik Ł. 2011. Współczesny system morfogenetyczny Gór Stołowych, w: Chodak T., Kabała C., Kaszubkiewicz J., Migoń P., Wojewoda J. (red.), Geokologiczne warunki środowiska przyrodniczego Parku Narodowego Gór Stołowych (monografia). WIND, Wrocław, 1–52. ISBN 9788392233046.
- Mortenson S.G., Weisberg P.J. 2010. Does river regulation increase the dominance of invasive woody species in riparian landscapes? *Global Ecology and Biogeography* 19(4): 562–574. DOI 10.1111/j.1466-8238.2010.00533.x.
- Mucina L., Bültmann H., Dierßen K., Theurillat J.-P., Raus T., Čarni A., Šumberová K., Willner W., Dengler J., García R.G., Chytrý M., Hájek M., Di Pietro R., Iakushenko D., Pallas J., Daniëls F.J.A., Bergmeier E., Santos Guerra A., Ermakov N., Valachovič M., Schaminée J.H.J., Lysenko T., Didukh Y.P., Pignatti S., Rodwell J.S., Capelo J., Weber H.E., Solomeshch A., Dimopoulos P., Aguiar C., Hennekens S. M., Tichý L. 2016. Vegetation of Europe: hierarchical floristic classification system of vascular plant, bryophyte, lichen, and algal communities. *Applied Vegetation Science* 19: 3–264. DOI 10.1111/avsc.12257.
- Naiman R.J., Décamps H., McClain M.E. 2005. Riparia: Ecology, Conservation and Management of Streamside Communities. Elsevier, Burlington. ISBN 9781493301980.
- Nilsson C., Berggren K. 2000. Alterations of Riparian Ecosystems Caused by River Regulation. *BioScience* 50(9): 783–792.
- Nilsson C., Reidy C.A., Dynesius M., Revenga C. 2005. Fragmentation and Flow Regulation of the World's Large River Systems. *Science* 308(5720): 405–408. DOI 10.1126/science.1107887.
- Ochyra R., Żarnowiec J., Bednarek-Ochyra H. 2003. Census catalogue of Polish Mosses. Biodiversity of Poland. 3. Szafer Institute of Botany, Polish Academy of Sciences, Kraków. ISBN 83-85444-84-X.
- Otypková Z., Chytrý M. 2006. Effects of plot size on the ordination of vegetation samples. *Journal of Vegetation Science* 17(4): 465–472. DOI 10.1111/j.1654-1103.2006.tb02467.x.
- Pax F. 1915. Schlesiens Pflanzenwelt. Eine pflanzengeographische Schilderung der Provinz. Verlag von Gustav Fischer, Jena.
- Pender K. 2008. Zbiorowiska roślinne, w: Witkowski A., Pokryszko B., Ciężkowski W. (red.), Przyroda Parku Narodowego Gór Stołowych. Park Narodowy Gór Stołowych, Kudowa-Zdrój, 182–193.
- PGL LP 2012. Instrukcja zarządzania lasu. Część II. Instrukcja wyróżniania i kartowania w Lasach Państwowych typów siedliskowych lasu oraz zbiorowisk roślinnych. Centrum Informacyjne Lasów Państwowych, Warszawa.
- Pielech R. 2015. Formalised classification and environmental controls of riparian forest communities in the Sudetes (SW Poland). *Tuexenia: Mitteilungen der Floristisch-Soziologischen Arbeitsgemeinschaft* 35: 155–176. DOI 10.14471/2015.35.003.
- Pielech R., Kisiel P. 2010. Prace utrzymaniowe jako zagrożenie dla osiągnięcia środowiskowych celów Ramowej Dyrektywy Wodnej oraz dla funkcjonowania sieci ekologicznej Natura 2000 w Polsce. WWF Polska, Wrocław-Warszawa, 71 s.
- Pielech R., Bodziarczyk J., Gazda A., Malicki M., Szwagrzyk J. 2017. Łęgi w źródłiskach i przy drobnych ciekach wodnych; jak identyfikować, kartować i chronić te zbiorowiska? *Studia i Materiały CEPL* 19(51): 93–102.
- Pielech R., Baran J., Bodziarczyk J., Kucharzyk S., Malicki M., Smoczyk M., Wilczek Z., Zarzycki W., Zięba A. 2018. Forest Database of Southern Poland. *Phytocoenologia*: (in press). DOI 10.1127/phyto/2018/0237.
- Planty-Tabacchi A.-M., Tabacchi E., Naiman R.J., Deferrari C., Décamps H. 1996. Invasibility of Species-Rich Communities

- in Riparian Zones. *Conservation Biology* 10(2): 598–607. DOI 10.1046/j.1523-1739.1996.10020598.x.
- Potocka J. 1999. Współczesna szata roślinna Wielkiego Torfowiska Batorowskiego. *Szczeliniec* 3: 49–99.
- Pypker T.G., Unsworth M.H., Lamb B., Allwine E., Edburg S., Sulzman E., Mix A.C., Bond B.J. 2007. Cold air drainage in a forested valley: Investigating the feasibility of monitoring ecosystem metabolism. *Agricultural and Forest Meteorology* 145(3): 149–166. DOI 10.1016/j.agrformet.2007.04.016.
- Richardson D.M., Holmes P.M., Esler K.J., Galatowitsch S.M., Stromberg J.C., Kirkman S.P., Pyšek P., Hobbs R. J. 2007. Riparian vegetation: degradation, alien plant invasions, and restoration prospects. *Diversity and Distributions* 13(1): 126–139. DOI 10.1111/j.1366-9516.2006.00314.x.
- Richter B.D., Mathews R., Harrison D.L., Wigington R. 2003. Ecologically sustainable water management: Managing river flows for ecological integrity. *Ecological Applications* 13(1): 206–224. DOI 10.1890/1051-0761(2003)013[0206:ESWMMR]2.0.CO;2.
- Schube T. 1903. Die Verbreitung der Gefäßpflanzen in Schlesien preussischen und österreichischen Antheils. Druck von R. Nischowsky, Breslau.
- Schube T. 1906. Waldbuch von Schlesien: Nachweis der beachtenswerten und zu schützenden Bäume und Sträucher Schlesiens nebst einer Charakteristik seiner wichtigsten Holzgewächse. G.T. Korn, Breslau.
- Sweeney B.W., Bott T.L., Jackson J.K., Kaplan L.A., Newbold J.D., Standley L.J., Hession W.C., Horwitz R.J. 2004. Riparian deforestation, stream narrowing, and loss of stream ecosystem services. *Proceedings of the National Academy of Sciences* 101(39): 14132–14137. DOI 10.1073/pnas.0405895101.
- Szweykowski J. 2006. An annotated checklist of Polish liverworts and hornworts. Biodiversity of Poland. vol. 4. W. Szafer Institute of Botany, Polish Academy of Sciences, Kraków. ISBN 8389648334
- Świerkosz K. 1998. Analiza geobotaniczna Gór Stołowych. Wydział Nauk Przyrodniczych, Uniwersytet Wrocławski. Praca doktorska. Wydział Nauk Przyrodniczych Uniwersytetu Wrocławskiego, tom 1: 225 s., tom 2: 408 s.
- Świerkosz K., Smoczyk M., Gołąb Z. 2008. Flora naczyniowa Gór Stołowych, w: Witkowski A., Pokryszko M.B., Ciężkowski W. (red.) *Przyroda Parku Narodowego Gór Stołowych*. PNGS, Kudowa-Zdrój, 174–181.
- Van Looy K., Tormos T., Souchon Y., Gilvear D. 2017. Analyzing riparian zone ecosystem services bundles to instruct river management. *International Journal of Biodiversity Science, Ecosystem Services & Management* 13(1): 330–341. DOI 10.1080/21513732.2017.1365773.
- Wagner V., Chytrý M., Jiménez-Alfaro B., Pergl J., Hennekens S., Biurrun I., Knollová I., Berg C., Vassilev K., Rodwell J. S., Škvorc Ž., Jandt U., Ewald J., Jansen F., Tsiripidis I., Botta-Dukát Z., Casella L., Attorre F., Rašomavičius V., Čušterevska R., Schaminée J. H. J., Brunet J., Lenoir J., Svenning J.-C., Kącki Z., Petrášová-Šibíková M., Šilc U., García-Mijangos I., Campos J. A., Fernández-González F., Wohlgemuth T., Onyshchenko V., Pyšek P. 2017. Alien plant invasions in European woodlands. *Diversity and Distributions* 23(9): 969–981. DOI 10.1111/ddi.12592.
- Wang X., Wang C., Li Q. 2015. Wind Regimes above and below a Temperate Deciduous Forest Canopy in Complex Terrain: Interactions between Slope and Valley Winds. *Atmosphere* 6(1): 60. DOI 10.3390/atmos6010060.
- Wierzcholska S., Dyderski M.K., Pielech R., Gazda A., Smoczyk M., Malicki M., Horodecki P., Kamczyc J., Skorupski M., Hachułka M., Kałużka I., Jagodziński A. M. 2018. Natural forest remnants as refugia for bryophyte diversity in a transformed mountain river valley landscape. *Science of the Total Environment* 640-641: 954-964. DOI 10.1016/j.scitotenv.2018.05.340
- Wilczkiewicz M. 1982. Rys historyczny gospodarki w lasach sudeckich. *Sylwan* 126(6): 49–54.
- Witek M. 2013. Morfologia doliny Czerwonej Wody w Górach Stołowych. *Przyroda Sudetów* 16: 147–179.
- Wójcik G. 2017. Powtórne odnalezienie gnidosza rozesłanego *Pedicularis sylvatica* L. (Orobanchaceae) w Górach Stołowych. *Przyroda Sudetów* 20: 49–60.

Wkład autorów

A.M.J., A.G., R.P., M.K.D. – koncepcja badań oraz opracowanie metodyki; R.P., M.M., M.Sm., M.K.D., A.G. – zbieranie danych; A.M.J., A.G., R.P., M.M., M.Sm., M.K.D., P.H., S.W., M.Sk., J.K., I.K., M.H. – autorzy tekstu.